



برآورد تبخیر و تعرق مرجع روزانه

با استفاده از داده‌های سنجش از دور (مطالعه موردی: استان سیستان و بلوچستان)

اسلام گله‌یان^۱, سعید حمزه^{۲*}, شادمان ویسی^۳, سید کاظم علوفی‌پناه^۴

- دانش آموخته کارشناسی ارشد سنجش از دور و GIS، دانشکده جغرافیا، دانشگاه تهران
- دانشیار گروه سنجش از دور و GIS، دانشکده جغرافیا، دانشگاه تهران
- استادیار مؤسسه تحقیقات آب و خاک کشور
- استاد سنجش از دور و GIS، دانشکده جغرافیا، دانشگاه تهران

تاریخ پذیرش مقاله: ۱۴۰۰/۰۸/۲۲

تاریخ دریافت مقاله: ۱۳۹۹/۱۲/۲۱

چکیده

تعیین دقیق نیاز آبی محصولات گوناگون و همچنین میزان آب مصرفی در سطحی پهناور و در زمان واقعی یکی از مهم‌ترین نیازهای متخصصان آب و خاک است. پیش‌نیاز آن نیز تعیین تبخیر و تعرق مرجع است. عموماً محاسبه این پارامتر براساس استفاده از داده‌های اقلیمی و حل معادلات تجربی انجام می‌شود اما، بهدلیل محدودیت و توزیع نامناسب ایستگاه‌های هواشناسی، اغلب استفاده از داده‌های آنها سبب ایجاد خطای در محاسبه این پارامتر می‌شود. بهترین گزینه، بهمنظور برطرف کردن این محدودیت، استفاده از داده‌های سنجش از دور است. بدین منظور می‌توان از محصولات گوناگون ماهواره‌ای بهره برد و با ترکیب آنها، برای تهیه نقشه‌های بهروز تبخیر و تعرق مرجع واقعی اقدام کرد. از این‌رو تحقیق حاضر بهمنظور بررسی امکان استفاده از محصولات سامانه‌های WaPOR و ERA5 با هدف محاسبه میزان تبخیر و تعرق مرجع روزانه، بر مبنای روش تجربی پمن مانتیث و ارزیابی و صحت‌سنجی خروجی‌های آن در سطح استان سیستان و بلوچستان ایران انجام شده است. نتایج تحقیق نشان داد که سامانه‌های سنجش از دوری با دقت بالای ۸۰٪ در محل ایستگاه‌های هواشناسی، مقدار تبخیر و تعرق مرجع را برآورد کرده‌اند و در تمامی ایستگاه‌ها خطای کمتر از ۲ میلی‌متر گزارش شد. همچنین فصل زراعی پانزدهم خداد تا پانزدهم آبان، در مقایسه با فصل زراعی اول آذر تا پانزدهم اردیبهشت، تبخیر و تعرق مرجع به دست آمده از داده‌های ماهواره‌ای همبستگی بالاتری را نشان می‌دهد. از آن‌جاکه مقدار برآورد و صحت‌سنجی شده دقت مورد قبولی داشتند، در گام بعدی می‌توان، در هر نقطه از استان، از این سامانه‌ها استفاده کرد.

کلیدواژه‌ها: تبخیر و تعرق مرجع، سنجش از دور، ERA5، WaPOR

* نویسنده مکاتبه کننده: گروه سنجش از دور و GIS، دانشکده جغرافیا، دانشگاه تهران. تلفن: ۰۹۱۲۸۹۰۲۹۱۴

Email: saeid.hamzeh@ut.ac.ir

۱- مقدمه

روش فائق پنمن مانتیث استفاده کرده‌اند (Akbarinodehi, 2011; Soltani Et Al., 2012; Sharifan Et Al., 2007; Sharifan Et Al., 2009; Sharifan Et Al., 2012). بررسی‌ها نشان می‌دهد دقت برآورد تبخیر و تعرق مرجع با استفاده از روش فائق پنمن مانتیث، در مقایسه با اندازه‌گیری‌های لایسیمتری، از دیگر روابط تجربی بهتر است (Allen, 1996; Allen et al., 1990; Jensen et al., 1998; Jensen et al., 1990 مانتیث بر روش‌های تجربی دیگر در آن است که هر دو مکانیسم انرژی و آئرودینامیک را در پدیده تبخیر در نظر می‌گیرد؛ از این‌رو تا کنون، به منظور برآورد تبخیر و تعرق مرجع، از داده‌های ایستگاه‌های هواشناسی و معادله‌پنمن مانتیث فائق استفاده شده است. اما با توجه به اینکه معمولاً ایستگاه‌های هواشناسی در فاصله محدوده‌های شهری و فرودگاه‌ها قرار دارند، میزان تبخیر و تعرق مرجع برآورده شده با داده‌های گردآمده برای موقعیت هر ایستگاه تناسب دارد و ممکن است با تبخیر و تعرق مرجع مناطق دیگر، از جمله مناطق کشاورزی که قادر ایستگاه‌های هواشناسی‌اند، اختلاف داشته باشد. همین نکته، در صورت اختلاف زیاد، چه بسا به تخمین اشتباہ مقدار نیاز آبی منجر شود؛ بنابراین داده‌های ماهواره‌ای، با توجه به تنوع زیاد، می‌توانند پارامترهای متفاوت مورد نیاز در محاسبه تبخیر و تعرق را همچون دما و رطوبت و تابش، محاسبه کنند و می‌توان از این داده‌ها به منزله جایگزین مناسب برای داده‌های ایستگاه‌های زمینی استفاده کرد زیرا تکنولوژی سنجش از دور می‌تواند پوشش مکانی بزرگ و پیوسته‌ای را در عرض چند دقیقه فراهم کند. هزینه آن از روش‌های مرسوم کمتر است و در مورد نواحی قادر آمار و یا در جاهایی که اندازه‌گیری دشوار است، تنها روش ممکن محسوب می‌شود (Rango, 1994).

(Soltani et al., 2012) در مطالعه‌ای، دقت معادله پنمن مانتیث فائق را برای داده‌های ته ایستگاه،

تبخیر و تعرق مرجع یکی از فرایندهای مهم چرخه هیدرولوژی است که نقش مهمی در مطالعات کشاورزی، طرح‌های مدیریت منابع آب، طراحی شبکه‌های آبیاری و زهکشی دارد (Gundekar et al., 2008; Lopez Urrea et al., 2006; Snyder et al., 2005) تبخیر و تعرق مرجع عبارت است از میزان تبخیر و تعرق گیاهی فرضی، با ارتفاع ۰/۱۲ سانتی‌متر و مقاومت پوشش گیاهی ۷۰ ثانیه بر متر و ضریب آلبیدوی ۰/۲۳ (Kheirabi, 2002). در بیشتر روش‌هایی که برای محاسبه تبخیر و تعرق مطرح شده است، ابتدا مقدار تبخیر و تعرق گیاه مرجع (ET₀) تخمین زده می‌شود و سپس، از روی آن، تبخیر و تعرق گیاه مورد نظر به دست می‌آید. دقیق‌ترین روش اندازه‌گیری تبخیر و تعرق مرجع استفاده از لایسیمتر است اما با توجه به هزینه‌های بالای احداث آن، در عمل، نمی‌توان از آن در تمامی مناطق استفاده کرد. تا کنون روابط تجربی و نیمه‌تجربی متعددی، به منظور تعیین تبخیر و تعرق گیاه مرجع با استفاده از معادلات تجربی مبتنی بر یک یا چند پارامتر متفاوت هواشناسی، مانند هارگریوز، پنمن، تورنت وایت، پیشنهاد شده است. در روش‌های تجربی، تخمین تبخیر و تعرق با استفاده از روابط مبتنی بر پارامتر دما (Jensen & Samani, 1985) و یا تابش (Hargreaves & Priestley, 1972 & Haise, 1963; Priestley & Taylor, 1972) می‌شود. در روش‌های ترکیبی، از ساده‌سازی معادلات فیزیکی بیلان انرژی برای سطحی فرضی در تخمین تبخیر و تعرق استفاده می‌شود (Penman, 1948; Allen et al., 1998). از آن جاکه روابط تجربی اغلب به واسنجی محلی نیاز دارد و کاربرد آمها در مناطق اقلیمی متفاوت، با محدودیت مواجه است، روش پنمن مانتیث فائق تنها روش استاندارد برای محاسبه تبخیر و تعرق مرجع، از سوی سازمان خواربار جهانی فائو (FAO)^۱ معرفی شد (Allen et al., 1998; Allen et al., 2002). پژوهشگران بسیاری، به منظور ارزیابی یافته‌های تجربی خود، از

1. Food and Agriculture Organization

کمبود فشار بخار، تابش خورشیدی مجموعه داده های به کاررفته است. نتایج به دست آمده از داده های تحلیل مجدد نشان می دهد که این داده ها می توانند جایگزین مناسبی برای داده های زمینی باشد. در پژوهشی که سازمان فائو (۲۰۱۸) انجام داده، با استفاده از داده های تحلیل مجدد (MERRA/GEOS-5) و معادله پنمن ماننتیث فائو، تبخیر و تعرق مرجع روزانه با رزو لوشن ۲۰ کیلومتر برای مناطق محدودی به دست آمده است؛ بنابراین می توان گفت تحقیقات صورت گرفته در زمینه تبخیر و تعرق مرجع، تا کنون یا با استفاده از داده های ایستگاه های هواشناسی و یا با استفاده از لایسیمتر انجام شده است. در زمینه فناوری سنجش از دور نیز، در پژوهش های انجام شده درمورد تبخیر و تعرق مرجع، از پارامتر های گوناگون از آن بهره برده؛ از طرفی، این در اقلیم های گوناگون از این روش ایستگاه های هواشناسی استان سیستان و بلوچستان مقایسه کند.

۲- مواد روش ها

۲-۱- موقعیت جغرافیایی

استان سیستان و بلوچستان وسعتی در حدود ۱۸۰.۷۲۶ کیلومترمربع دارد و بین عرض جغرافیایی ۳۱ تا ۲۵ درجه عرض شمالی و ۵۸ تا ۶۳ درجه طول شرقی واقع شده است (شکل ۱). هفده ایستگاه سینوپتیک مورد بررسی در استان سیستان و بلوچستان در جدول ۱ نشان داده شده است.

-
1. Lu
 2. Xu
 3. singh
 4. Oudin
 5. Barik
 6. Li
 7. Pelosi

برآورده تبخیر و تعرق در اقلیم های متفاوت، با استفاده از در شرایطی که داده های هواشناسی محدود باشد، بررسی کردند. نتایج نشان داد که حداقل داده لازم، برای برآورده دقیق تبخیر و تعرق مرجع به روش مذکور در اقلیم های مرطوب و گرم و نیمه خشک، داده های حداقل داده لازم داشت و در اقلیم بسیار خشک و حداقل دما و سرعت باد است و در اقلیم بسیار خشک نیز، حداقل داده لازم داده های حداقل دمای روزانه و سرعت باد روزانه است. لو^۱ و همکاران (۲۰۰۵)، در تحقیقی در جنوب شرق آمریکا، شش روش محاسبه تبخیر و تعرق پتانسیل را با هم مقایسه کردند. آنها برای این کار، سه مدل مبتنی بر دما (تورنت- ویت، هامون و هارگریوز سامانی) را با سه مدل مبتنی بتابش (تورک، مکینک و پریستلی- تیلور)، مقایسه کردند. نتایج پژوهش آنها نشان داد که سه روش پریستلی- تیلور، تورک و هامون عملکردی بهتر از دیگر روش ها داشتند. این روش را رو^۲ و سینگ^۳ (۲۰۰۲) و او دین^۴ و همکاران (۲۰۰۵) نیز، با استفاده از ایستگاه های زمینی، بررسی و همگی آنها ثابت کردند این روش خروجی های معقول و مورد اعتمادی دارد. بریک^۵ (۲۰۱۴)، طی مطالعه ای در شمال حوزه رودخانه کلرادو، به منظور مدل سازی هیدرولوژیک، از روش پریستلی- تیلور و تکنیک سنجش از دور برای برآورده تبخیر و تعرق پتانسیل استفاده کرد. لی^۶ و همکاران (۲۰۱۶) برای اندازه گیری تبخیر و تعرق پتانسیل، در منطقه های خشک در شمال غرب چین، دقت شش روش متداول اندازه گیری تبخیر و تعرق پتانسیل (بلانی کریدل، هارگریوز، پریستلی- تیلور، دالتون، پنمن و شاتلورث) را ارزیابی کردند. نتایج کار آنها نشان داد که سه روش پنمن، شاتلورث و پریستلی- تیلور بیشترین دقت را در اندازه گیری دارند. در پژوهش پلوسی^۷ و همکاران (۲۰۲۰)، با استفاده از دو سری داده های تحلیل مجدد (UMS و UERRA MESCAN-SURFEX (UMS) و ERA5-Land (E5L) عملکرد تبخیر و تعرق مرجع در کامپانیا (جنوب ایتالیا) طی بازه زمانی آوریل تا سپتامبر سال ۲۰۰۸ تا ۲۰۱۸ ارزیابی شد. دما، سرعت باد،

سیستان و بلوچستان، متعلق به سال ۲۰۱۲ (شکل ۱) جمع‌آوری شد. همچنین داده‌های هواشناسی ماهواره‌ای GLDAS-2.1 ERA 5 به صورت روزانه و محصول تبخیر و تعرق مرجع روزانه WAPOR نیز، مربوط به منطقه مورد مطالعه، تهیه شد (جدول ۲).

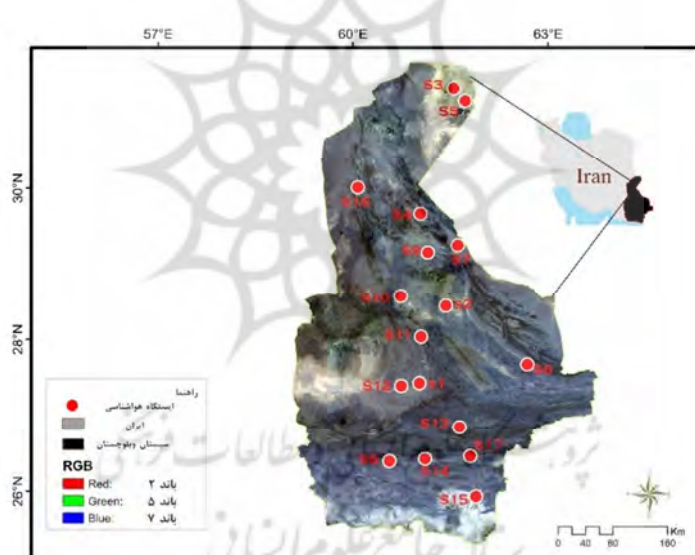
۳- آمار و اطلاعات

۳-۱- داده‌های زمینی

در این پژوهش، داده‌های هواشناسی مورد نیاز (دما، حداکثر، دمای حداقل، سرعت باد، ساعت آفتابی، رطوبت حداقل، رطوبت حداکثر) روزانه و از هفده ایستگاه سینوپتیک سازمان هواشناسی، واقع در استان

جدول ۱. اسامی ایستگاه‌های سینوپتیک مورد بررسی استان سیستان و بلوچستان

Station Name	Iranshahr	Khash	Zabol	Zahedan	Zahak	Saravan	Mirjaveh	Nikshahr	Junabad
Station	S1	S2	S3	S4	S5	S6	S7	S8	S9
Station Name	Gowhar Kuh	Karvandar	Bampour	Sarbaz	Qasr-e-qand	Bahoukalat	Nosratabad	Rasak	
Station	S10	S11	S12	S13	S14	S15	S16	S17	



شکل ۱. موقعیت ایستگاه‌های مورد بررسی در منطقه مطالعاتی

جدول ۲. داده‌های ماهواره‌ای مورد استفاده

Parameters used	Time period used	Temporal resolution	Spatial resolution	data type
Minimum temperature, maximum temperature, average temperature, dew point temperature	2012	Hourly	0.25 degrees	ERA 5
Wind speed	2012	Hourly (3 hours)	0.25 degrees	GLDAS 2.1
Reference Evapotranspiration product	2012	Daily	20 kilometer	WAPOR

.(https://wapor.apps.fao.org/home/WAPOR)

۴-۳- مدل پنمن مانتیث فائو

باتوجه به کاستی‌های معادله پنمن مانتیث، سازمان خواربار کشاورزی گیاه فرضی دارای ارتفاع ۱۲ سانتی‌متر و مقاومت سطحی ۷۰ ثانیه بر متر و ضربی بازتابش (آلبیدو) ۰/۲۳ را تعریف کرد که تبخیر آن شباهت بسیاری به تبخیر از سطح وسیع چمن سبز با ارتفاع یکنواخت، رشد فعال و دسترسی به آب کافی دارد و بدین ترتیب روش پنمن مانتیث فائو را توسعه داد. معادله کاربردی برای این مدل مطابق رابطه (۱) است.

$$ET0 = \frac{0.408 \Delta (Rn - G) + \gamma \frac{900}{T+273} u_2 (e_s - e_a)}{\Delta + \gamma (1 + 0.34 u_2)} \quad (1)$$

در این معادله، $ET0$ تبخیر و تعرق مرجع گیاه مرجع (mm)، Δ شیب منحنی فشار بخار به نسبت درجه حرارت ($MJ.m^{-2}.d^{-1}$)، Rn تابش خالص ($Kpa.\text{C}^{-1}$)، G شار گرمما به داخل خاک است که معمولاً صفر در نظر گرفته می‌شود. همچنین γ ضربی رطوبتی ($Kpa.\text{C}^{-1}$)، T متوسط دمای روزانه ($^{\circ}\text{C}$)، e_s و e_a به ترتیب فشار بخار اشباع و فشار واقعی بخار آب (mbar)، $U2$ سرعت باد در روز در ارتفاع دومتری از سطح زمین به $m\text{s}^{-1}$ است.

۵- آنالیز آماری

نتایج به دست آمده از برآورد تبخیر و تعرق مرجع حاصل از مدل پنمن مانتیث فائو، با استفاده از داده‌های ایستگاه زمینی، داده‌های ERA5 و GLdas و تبخیر و تعرق مرجع با استفاده از چهار آماره خطاسنجی مقایسه Wapor

1. Copernicus Climate Change Service (C3S)
2. European Centre for Medium-Range Weather Forecasts (ECMWF)
3. Integrated Forecasting System (IFS)
4. Global Land Data Assimilation System (GLDAS2.1)
5. National Aeronautics and Space Administration (NASA)
6. Water Productivity Open-Access Portal Uses Remote Sensing Technologies

۲-۳- داده‌های ماهواره‌ای

داده‌های جهانی تحلیل مجدد آب و هوایی و اقلیمی ERA5، به منزله بخشی از اجرای سرویس تغییرات آب و هوایی کوپرنیک^۱ در اروپا توسط مرکز اروپایی پیش‌بینی میان برد آب و هوای^۲ تولید شده است. اساس این داده‌ها سیستم یکپارچه پیش‌بینی^۳ است که با استفاده از قوانین فیزیک، داده‌های مدل را با داده‌های مشاهداتی در سراسر جهان، به مجموعه داده‌ای جهانی و کاملاً سازگار تبدیل می‌کند. این داده‌ها به صورت شبکه‌ای است و با قدرت تفکیک مکانی ۰/۲۵* درجه، از بازه زمانی ۱۹۷۹ تا اکنون در دسترس قرار دارد. در این پژوهش از پارامترهای دمای حداقل، دمای حداکثر، دمای میانگین، دمای نقطه شبنم استفاده شد (https://cds.climate.copernicus.eu). شایان ذکر است که در داده‌های تحلیل مجدد ERA5، به این علت که داده‌های سرعت باد دارای خطای نامتعارف بودند و با داده‌های باد ایستگاه‌های هواشناسی اختلاف زیادی داشتند، پارامتر باد از داده‌های شبکه‌ای^۴ دریافت و استفاده شد. این داده‌ها از سوی سازمان ناسا^۵، با رزولوشن زمانی سه ساعته و قدرت تفکیک مکانی ۰/۲۵* درجه، در دسترس قرار دارد (https://ldas.gsfc.nasa.gov).

۳-۳- محصول تبخیر و تعرق مرجع^۶

WaPOR در گاه پایش بهره‌وری آب از طریق دسترسی آزاد به داده‌های سنجش از دور است که سازمان غذا و کشاورزی ملل متحد (FAO) در سه سطح یک (۲۵۰ متر)، دو (۱۰۰ متر) و سه (۳۰ متر) آن را راهنمایی کرده است. محصول تبخیر و تعرق مرجع این سامانه روزانه و با قدرت تفکیک مکانی ۲۰ کیلومتر، از سال ۲۰۰۹ تا اکنون، در سطح یک در دسترس قرار دارد که با استفاده از معادله پنمن مانتیث تولید شده است. در این پژوهش، به منظور بررسی دقیق این محصول با تبخیر و تعرق مرجع تولیدی، داده‌های شبکه‌ای و زمینی به صورت روزانه و متعلق به سال ۲۰۱۲، از سامانه مورد نظر تهیه شد

ایستگاه‌های مورد بررسی استان سیستان و بلوچستان محاسبه شد. پس از آن، مقدار تبخیر و تعرق به دست آمده از داده‌های ERA5 - GLDAS 2.1 و WaPor با تبخیر و تعرق مرجع مر جع براساس داده‌های هواشناسی مقایسه شد.

۴- نتایج و بحث

نتایج مقایسه میزان خطا حاصل از تبخیر و تعرق مرجع روزانه ایستگاه‌های هواشناسی با تبخیر و تعرق مرجع محاسبه شده براساس داده‌های ماهواره‌ای متعلق به سال ۲۰۱۲ در جدول ۳ آمده است. بر این اساس، بیشترین مقادیر همبستگی (R^2) به تبخیر و تعرق مرجع محاسبه شده با استفاده از داده‌های ۵ با GLDAS-ERA5 تبخیر و تعرق مرجع ایستگاه‌های هواشناسی زابل و زهک، به میزان ۰/۹۲، تعلق دارد. بیشترین همبستگی نیز به تبخیر و تعرق مرجع WaPor با تبخیر و تعرق مرجع ایستگاه‌های هواشناسی ایرانشهر، به میزان ۰/۸۹ بازمی‌گردد. علاوه بر این نتایج مقایسه بین تبخیر و تعرق مرجع حاصل از داده‌های ERA5-GLDAS و ERA5-WaPor، در مورد پانزده ایستگاه، با تبخیر و تعرق مرجع داده‌های ایستگاه‌های زمینی نشان می‌دهد بیشترین همبستگی، به میزان ۰/۷۸، به داده‌های ERA5-GLDAS و کمترین RMSE، به میزان ۱.۶۵، به WaPor بازمی‌گردد.

شدن تا دقیق تخمین ارزیابی شود. این شاخص‌ها عبارت‌اند از:

$$MAD = (\sum_{i=1}^N |ET(Obs)_i - ET(Mod)_i|) / N \quad (2)$$

$$RMSE = \sqrt{(\sum_{i=1}^N ET(Obs)_i - ET(Mod)_i)^2 / N} \quad (3)$$

$$MSE = (\sum_{i=1}^N ET(Obs)_i - ET(Mod)_i)^2 / N \quad (4)$$

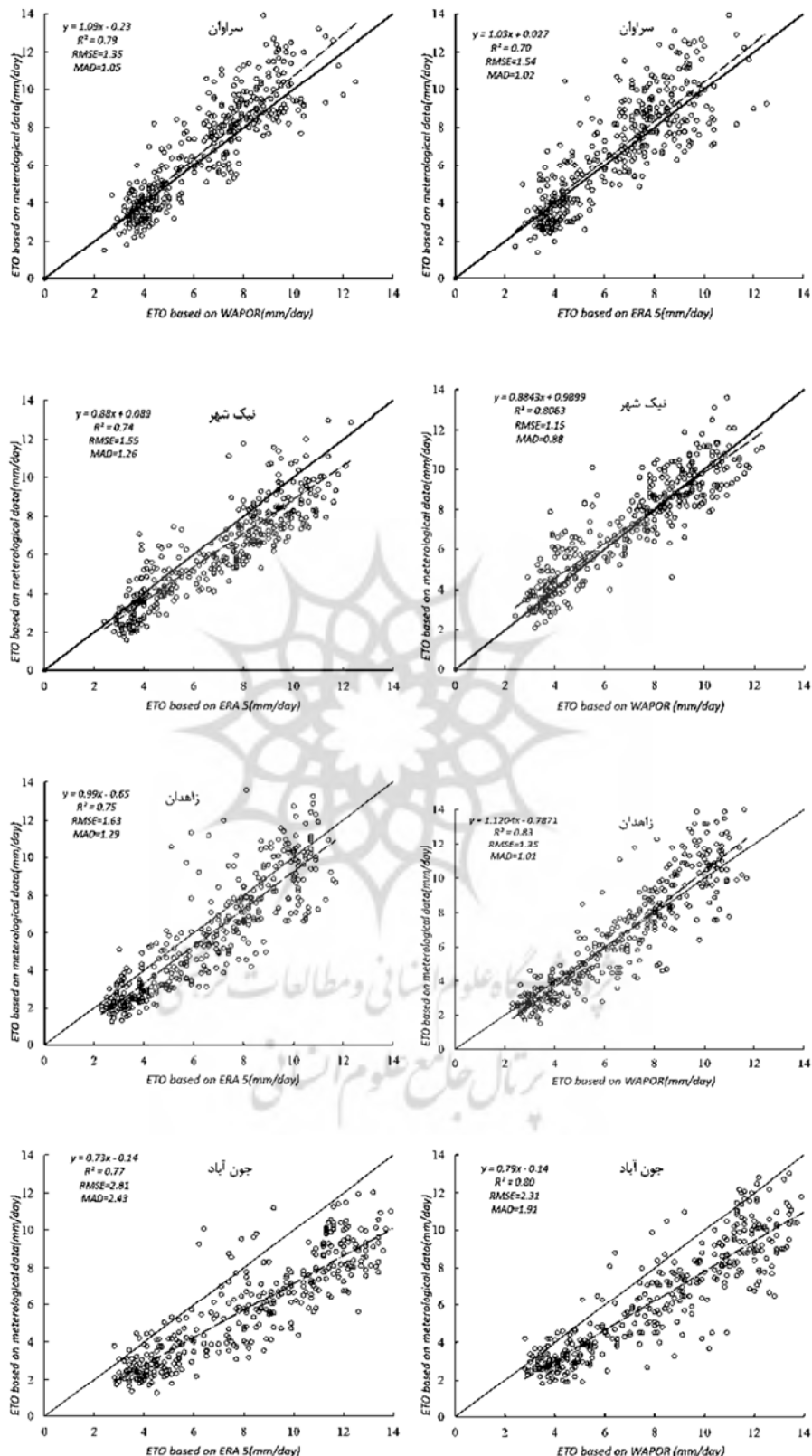
$$MAPE = \frac{(\sum_{i=1}^N \frac{|ET(Obs)_i - ET(Mod)_i|}{ET(Obs)_i})}{N} \quad (5)$$

$$R^2 = \frac{(\sum_i (ET(Obs)_i - ET(Obs_m)_i)(ET(Mod)_i - ET(Mod_m)_i))^2}{\sum_i (ET(Obs)_i - ET(Obs_m)_i)^2 \sum_i (ET(Mod)_i - ET(Mod_m)_i)^2} \quad (6)$$

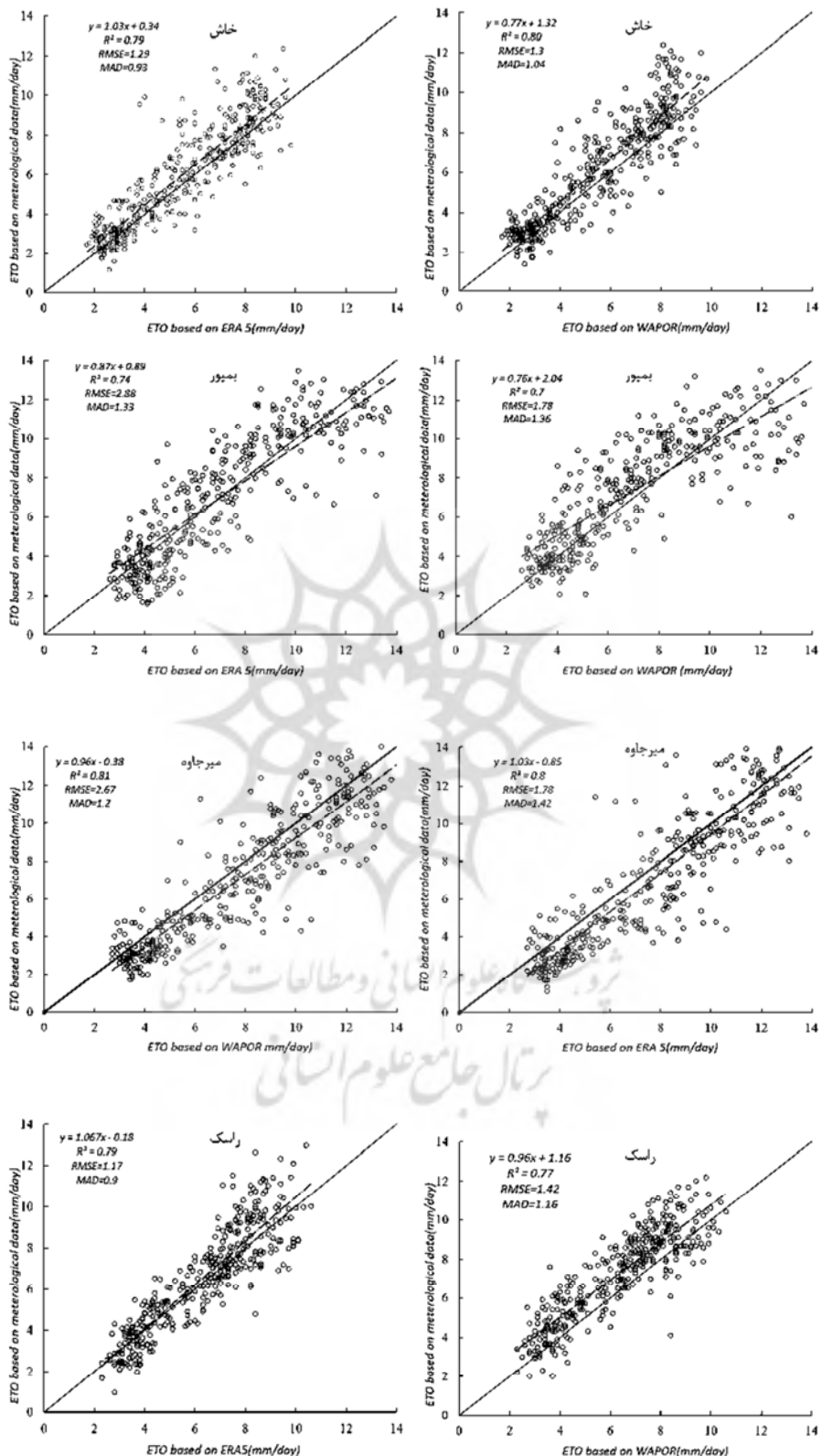
تبخیر و تعرق مرجع برآورده شده از داده‌های ERA و GLDAS و تبخیر و تعرق مرجع ET(Obs) و WAPOR داده‌های هواشناسی ایستگاه‌های زمینی است. همچنین (ET(Obs)_m و ET(Mod)_m) به ترتیب متوسط مقادیر اندازه‌گیری شده داده‌های ماهواره‌ای و زمینی است. پس از اخذ و محاسبه داده‌های روزانه تبخیر و تعرق مرجع، با استفاده از محصولات WaPor و ERA5، با استفاده از داده‌های زمینی و داده‌های ماهواره‌ای و از طریق معادله پنمن مانتیث فائق، تبخیر و تعرق مرجع برای تمامی

جدول ۳. تفسیر آماری نتایج تبخیر و تعرق مرجع ایستگاه‌های هواشناسی با داده‌های ماهواره‌ای

MAPE		MSE		MAD		RMSE		R^2		Location	
WAPOR	ERA5	WAPOR	ERA5	WAPOR	ERA5	WAPOR	ERA5	WAPOR	ERA5	Station Name	Station
14.74	15.46	1.38	1.45	0.89	0.95	1.17	1.2	0.83	0.89	Iranshahr	S1
20.77	18.99	1.88	1.66	1.04	0.92	1.37	1.29	0.8	0.79	Khash	S2
*	17.65	*	3.31	*	1.41	*	1.82	*	0.92	Zabol	S3
15.98	21.63	1.83	2.67	1.01	1.29	1.35	1.63	0.83	0.75	Zahedan	S4
*	20.52	*	3.89	*	1.5	*	1.97	*	0.92	Zahak	S5
16.72	19.6	1.84	2.38	1.05	1.2	1.35	1.54	0.78	0.7	Saravan	S6
17.93	20.66	2.67	3.18	1.27	1.42	1.63	1.78	0.81	0.79	Mirjaveh	S7
14.23	18.62	1.33	2.43	0.88	1.26	1.15	1.55	0.8	0.74	Nikshahr	S8
24.19*	30.75	5.35	7.9	1.91	2.43	2.31	2.81	0.8	0.77	Junabad	S9
21.91	21.23	2.99	2.7	1.38	1.26	1.72	1.64	0.7	0.71	Gowhar Kuh	S10
25.58	18.36	2.59	1.94	1.28	1.01	1.61	1.39	0.8	0.83	Karvandar	S11
20.4	20.52	3.19	2.88	1.36	1.33	1.78	1.69	0.69	0.73	Bampour	S12
23.09	27.7	6.12	7.67	2.04	2.36	2.47	2.77	0.75	0.73	Sarbaz	S13
26.68	19.05	2.69	1.91	1.32	1.03	1.64	1.38	0.78	0.71	Qasr-e-qand	S14
12.37	14.74	1.17	1.48	0.83	0.9	1.08	1.21	0.76	0.78	Bahoukalat	S15
26.8	20.97	3.92	3.99	1.53	1.61	1.98	1.99	0.83	0.79	Nosratabad	S16
20.76	15.06	2.04	1.37	1.16	0.91	1.42	1.17	0.77	0.79	Rasak	S17
19.95	20.33	2.73	3.04	1.26	1.33	1.65	1.74	0.69	0.78	All Stations	*



شکل ۲. نمودار مقادیر همبستگی و موقعیت نقاط بهنسبت خط یک به یک



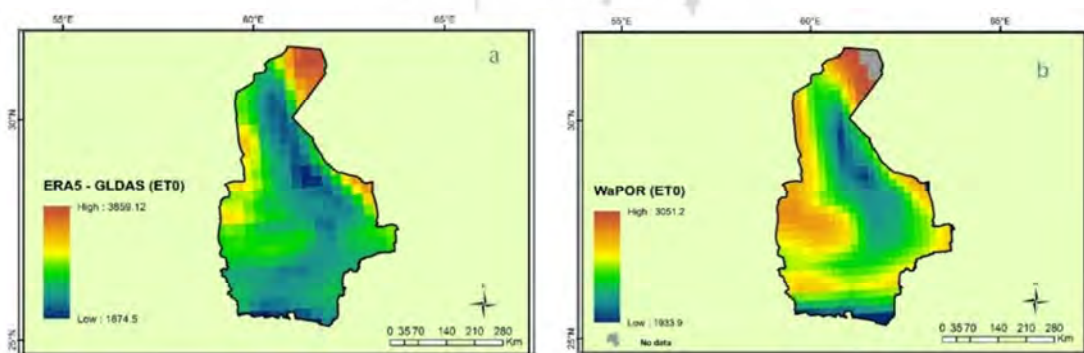
ادامه شکل ۲

داده است (شکل ۳- b). به نظر می‌رسد یکی از دلایل کمتر بودن میزان حداکثر در سامانه WaPOR در قیاس با مقدار بیان شده با استفاده از داده‌های تحلیل مجدد ERA5 - GLDAS این است که در چند پیکسل از بخش شمالی استان که شدت تبخیر و تعرق بالایی نیز دارند، سامانه WAPOR اطلاعاتی ارائه نداده است؛ به عبارتی چون مقادیر حداقل دو سامانه در طول یک سال، به صورت تجمعی، کمتر از ۵۰ میلی‌متر با هم اختلاف دارند، در صورت داشتن اطلاعات بخش شمالی نیز نمی‌توان اختلافی بیش از این متوجه شد.

۵- ارزیابی تغییرات فصلی تبخیر و تعرق مرجع
طبق نتایج حاصل از مقایسه میزان تبخیر و تعرق مرجع فصلی براساس داده‌های روزانه ایستگاه‌های هواشناسی با داده‌های ماهواره‌ای، (جدول ۴) تبخیر و تعرق مرجع به دست آمده از داده‌های ERA5-GLDAS همبستگی بیشتری در مقایسه با نتیجه WAPOR، طی همه فصل‌های سال، داشته و بیشترین میزان آن در فصل تابستان برابر با ۰.۹۱ است. در فصل زراعی پانزدهم خرداد تا پانزدهم آبان نیز، در قیاس با فصل زراعی اول آذر تا پانزدهم اردیبهشت، تبخیر و تعرق مرجع حاصل از داده‌های ماهواره‌ای همبستگی بیشتری به چشم می‌خورد و همبستگی تبخیر و تعرق مرجع به دست آمده از داده‌های ERA5-GLDAS، طی فصل زراعی پانزدهم خرداد تا پانزدهم آبان، برابر با ۰.۸۶ است (جدول ۴).

همان‌طور که در مجموعه نمودارهای شکل ۲ مشاهده می‌شود، با توجه به خط یک‌به‌یک، هر دو سامانه Wapor و ERA5- GLDAS اغلب روزهای سال در بیشتر ایستگاه‌های استان سیستان و بلوچستان برآورد کمتری از مقدار تبخیر و تعرق مرجع مستخرج، با استفاده از معادله پنمن مانیث فائو در ایستگاه‌های هواشناسی، دارند و مقادیر آمارهای خطا نیز در حد مورد قبول و کمتر از دو میلی‌متر در روز را، در مورد هر دو سامانه در ایستگاه‌های متفاوت نشان می‌دهد؛ از این‌رو در گام بعدی، نقشه رستر تبخیر و تعرق مرجع تجمعی استان، در مقیاس سالیانه نشان داده شده است (شکل ۳).

نتایج حاصل از مجموع تبخیر و تعرق سالیانه، با استفاده از داده‌های ERA5 - GLDAS، نشان می‌دهد حداکثر میزان تبخیر و تعرق سالیانه در استان سیستان و بلوچستان ۳۸۵۹ میلی‌متر و بیشتر در بخش‌های شمال شرق صورت گرفته و حداقل آن ۱۸۷۴ میلی‌متر و در بخش‌های مرکزی و جنوبی اتفاق افتاده است (شکل ۳- a). مجموع تبخیر و تعرق مرج سالیانه به دست آمده با استفاده از محصول WaPOR نیز مقدار ۱۹۳۳ میلی‌متر حداکثر تبخیر و تعرق مرج را در این استان نشان می‌دهد. همچنین حداکثر و حداقل تبخیر و تعرق مرج حاصل از WaPOR، همانند تبخیر و تعرق مرج به دست آمده با استفاده از داده‌های ERA5-GLDAS، به ترتیب در شمال شرق و بخش‌های مرکزی- جنوبی رخ

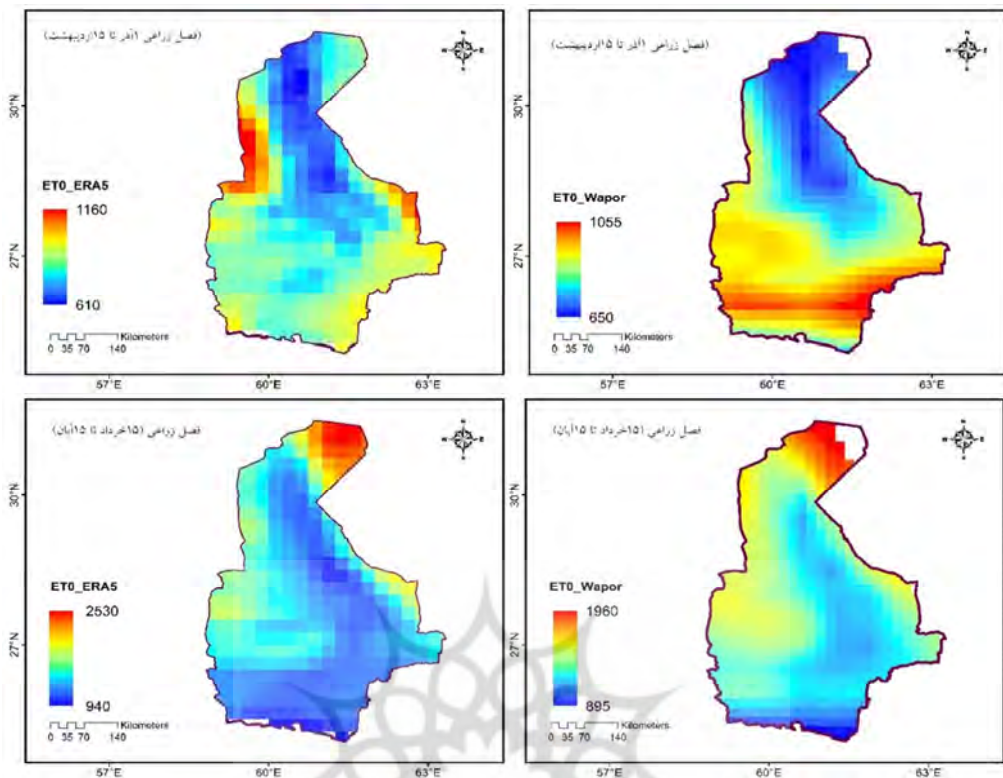


شکل ۳. مجموع تبخیر و تعرق مرج سالیانه، با استفاده از طریق داده‌های (a) ERA 5-GLDAS و محصول (b) WaPOR

جدول ۴. تفسیر آماری نتایج فصلی تبیخیز و تعرق مرجع ایستگاه‌های هواشناسی با داده‌های ماهواره‌ای

میزان همسنسنی	زهک	زابل	زمین	ایستگاه														
				ایرانشهر	خاش	زاهدان	سراوان	میبد-چاوه	پیک شهر	جون آباد	بسپور	راسک	گوهرگوہ	کاروانسر	سوزاژ	نمرقد-لریانی	باهاگلات	نمرود آباد
975.3	1047.0	1016.0	822.2	720.5	1030.3	694.6	753.1	802.4	794.8	940.5	888.6	938.8	776.8	778.7	664.7	813.8	E00(ground)	
0.52	1101.2	1125.2	854.5	849.3	779.9	771.2	766.0	750.7	822.8	839.7	693.1	772.8	808.8	820.6	697.3	740.8	842.9	E00(Eras5)
0.09	*	*	808.1	818.4	845.1	786.3	781.3	767.4	857.2	854.0	717.1	852.2	797.8	800.3	740.7	706.8	825.1	Wapor
1465.3	1609.6	1068.8	659.4	718.8	1017.7	735.7	812.6	671.8	972.9	1048.4	802.8	995.4	767.1	836.0	703.6	863.3	E00(ground)	
0.91	1585.6	1664.6	960.1	742.0	709.3	756.8	842.6	849.7	734.4	959.3	754.8	729.7	1013.3	806.6	785.1	738.9	969.2	E00(Eras5)
0.61	*	*	982.7	723.8	804.6	772.4	866.4	877.9	792.5	936.9	851.5	835.4	984.4	858.7	918.7	803.1	884.0	Wapor
523.6	622.8	530.4	467.9	368.0	604.7	385.2	376.0	440.5	454.6	565.8	492.3	513.2	450.7	438.4	363.4	464.5	E00(ground)	
0.44	568.2	595.4	424.6	449.3	418.6	400.1	381.3	387.1	451.2	436.5	344.4	416.8	413.6	426.6	334.8	364.7	427.3	E00(Eras5)
-0.07	*	*	431.0	503.1	493.0	452.7	450.5	430.2	515.3	509.9	386.5	496.9	430.7	453.9	398.4	384.0	481.0	Wapor
316.6	362.5	423.0	377.7	333.3	473.2	289.3	304.2	370.6	394.8	405.9	384.9	398.2	374.7	353.5	271.0	356.9	E00(ground)	
0.53	344.4	345.3	414.4	374.1	350.7	369.0	327.6	330.1	361.0	373.4	320.2	359.1	380.2	409.9	330.3	340.6	372.9	E00(Eras5)
0.28	*	*	352.0	426.3	438.6	419.4	379.6	357.7	453.3	429.0	351.9	445.7	383.0	402.4	354.3	345.1	414.2	Wapor
2132.8	2348.8	1689.7	1110.9	1115.2	1645.8	1139.5	1245.0	1116.5	1452.0	1641.7	1312.1	1556.1	1226.1	1311.2	1093.7	1349.0	E00(ground)	
0.86	2335.0	2449.5	1452.9	1187.1	1133.8	1177.7	1288.0	1301.9	1176.4	1456.0	1152.6	1163.8	1511.1	1262.6	1183.6	1147.5	1466.7	E00(Eras5)
0.47	*	*	1480.2	1181.7	1277.2	1216.9	1347.4	1355.4	1271.9	1466.9	1291.5	1322.0	1480.1	1334.2	1378.4	1230.4	1383.1	Wapor
741.6	847.0	938.3	852.6	719.9	1036.9	671.2	696.9	827.6	828.7	908.8	871.1	893.0	807.5	768.6	622.7	790.2	E00(ground)	
0.38	794.2	802.8	841.4	869.5	793.4	793.7	700.1	691.9	842.2	790.9	663.9	788.9	755.1	848.0	674.4	712.3	783.1	E00(Eras5)
0.21	*	*	736.6	929.7	935.2	870.9	782.6	737.4	971.4	886.0	703.2	936.5	767.2	828.5	710.1	697.5	855.7	Wapor

سنجهش از دور و GIS ایران
سال چهاردهم = شماره دوم = تابستان ۱۴۰۱



شکل ۴. مجموع تبخیر تعرق مرجع فصل‌های زراعی به دست آمده از طریق داده‌های Era5-Gldas و محصول WaPOR

۶- نتیجه‌گیری

تحقیق حاضر به منظور ارزیابی صحت محصولات سنجش از دور انجام شد تا تبخیر و تعرق مرجع روزانه برآورد شود. نتایج محاسبه تبخیر و تعرق مرجع برمبنای روش پنمن مانیت، با استفاده از داده‌های ماهواره‌ای و داده‌های ایستگاه‌های هواشناسی سطح استان سیستان و بلوچستان نشان داد که محصولات ماهواره‌ای در این محاسبات به صورت روزانه، دقت بالایی دارند؛ بنابراین پیشنهاد این است که داده‌های ماهواره‌ای، به منظور محاسبه تبخیر و تعرق مرجع در مناطق دیگر کشور که اقلیمی متفاوت با استان سیستان و بلوچستان دارند نیز، ارزیابی شود تا بتوان به برنامه‌ای کلی و مبتنی بر داده‌های ماهواره‌ای دست یافت و امکان محاسبه این پارامتر مهم، در سطح کشور و به ویژه مناطقی که فاقد آمارهای زمینی است، فراهم باشد.

شکل ۴ مجموع تبخیر و تعرق مرجع فصل‌های زراعی به دست آمده براساس داده‌های ERA5-GLDAS و نیز WaPOR را نشان می‌دهد که حداقل مقدار آن در فصل زراعی اول آذر تا پانزدهم اردیبهشت، از طریق داده‌های ERA5-GLDAS و WaPOR به ترتیب ۱۱۶۰ و ۱۰۵۵ میلی‌متر است. این مقدار، در فصل زراعی پانزدهم خرداد تا پانزدهم آبان نیز، به ترتیب ۲۵۳۰ و ۱۹۶۰ میلی‌متر است. با توجه به مقادیر تبخیر و تعرق بالا و کمبود منابع آب، پیشنهاد می‌شود در فصل زراعی تابستان (پانزدهم خرداد تا پانزدهم آبان)، در این استان کشت دوم انجام نشود و اراضی، به منظور حفظ منابع آب، آیش بمانند.

۷- تقدیر و تشکر

نویسنده‌گان این مقاله از اعضای هیئت علمی بخش آبیاری و فیزیک خاک مؤسسه تحقیقات آب و خاک، به دلیل در اختیار گذاشتن آمار و اطلاعات درباره استان سیستان و بلوچستان، تشکر و قدردانی می‌کنند.

۸- منابع

- Akbarinodehi, D. (2011). **Evaluation Of Pan Coefficient For Reference Crop Evapotranspiration (Case Study In Synoptic Station-Sari)**. Journal Of Research In Crop Sciences, 2(7), 65-74. <https://www.sid.ir/en/journal/ViewPaper.aspx?id=205444>.
- Allen, R.G., 1996, **Assessing Integrity of Weather Data for Use in Reference Evapotranspiration Estimation**, J. Irrig and Drain. Eng, ASCE, 122(2), PP. 97-106.
- Allen, R.G., Bastiaanssen, W.G.M., Wright, J.L., Morse, M., Tasumi, R.T., 2002, **Evapotranspiration from Satellite Image for Water Management and Hydrological Balances**, Proceeding of the 2002 ICID Conference, Montreal, Canada, PP. 1-12.
- Allen, R.G., Pereira, L.S., Raes, D. & Smith, M., 1998, **Crop Evapotranspiration (Guidelines for Computing Crop Water Requirements)**, FAO Irrigation and Drainage Paper, No. 56, Food and Agricultural Organization of the United Nations, Rome, PP. 17-18.
- Almhab, A. & Busu, I., 2008, **Estimation of Evapotranspiration with Modified SEBAL Model Using Landsat-TM and NOAA-AVHRR Images in Aride Mountains Area**, Second Asia International Conference on Modeling & Simulation.
- Barik, M.G., 2014, **Remote Sensing-Based Estimates of Potential Evapotranspiration for Hydrologic Modeling in the Upper Colorado River Basin Region**, PhD Degree in Civil Engineering, UCLA, University of California.
- Gundekar, H.G., Khodke, U.M. & Sarkar, S., 2008, **Evaluation of Pan Coefficient for**
- Jensen, M.E. & Haise, H.R., 1963, **Estimation of Evapotranspiration from Solar Radiation**, Journal of Irrigation and Drainage Division, Proceedings of the American Society of Civil Engineering, 89, PP. 15-4.
- Jensen, M.E., Burman, R.D. & Allen, R.G., 1990, **Evapotranspiration and Irrigation Water Requirements**, ASCE Manuals and Reports on Engineering, Practices NO 70, ASCE, New York.
- Khaldi, A. & Hamimed, A., 2014, **Using the Priestley-Taylor Expression for Estimating Actual Evapotranspiration from Satellite Landsat ETM+ Data**, Proceedings of the International Association of Hydrological Sciences, 364, PP. 398-403.
- Kheirabi, J. (2002). **Comparative Study And Comparison Of Penman-Montis Method With FAO 24 Methods In Iran.Iran: National Committee For Irrigation And Drainage Of Iran.**
- Li, S., Kang, S., Zhang, L., Zhang, J., Du, T., Tong, L. & Ding, R., 2016, **Evaluation of Six Potential Evapotranspiration Models for Estimating Crop Potential and Actual Evapotranspiration in Arid Regions**, Journal of Hydrology, 543, PP. 450-461.
- Lopez-Urrea, R., MartIn de Santa Olalla, F., Fabeiro, C. & Moratalla, A., 2006, **Testing Evapotranspiration Equations Using Lysimeter Observations in a Semi-Arid Climate**, Agric Water Management, 85, PP. 15-26.
- Lu, J., Sun, G., McNulty, S.G. & Amatya, D.M., 2005, **A Comparison of Six Potential Evapotranspiration Methods for Regional Use in the Southeastern United States 1**, JAWRA Journal of the American Water Resources Association, 41(3), PP. 621-633.
- Hargreaves, G.H., Samani, Z.A., 1985, **Reference Crop Evapotranspiration from Temperature**, Applied Engineering Agriculture, 1(2), PP. 96-99.
- Reference Crop Evapotranspiration for Semi-Arid Region, Irrigation Science, 26, PP. 169-175.

- Oudin, L., Hervieu, F., Michel, C., Perrin, C., Andréassian, V., Anctil, F. & Loumagne, C., 2005, **Which Potential Evapotranspiration Input for a Lumped Rainfall–Runoff Model?: Part 2-Towards a Simple and Efficient Potential Evapotranspiration Model for Rainfall–Runoff Modelling**, Journal of Hydrology, 303(1-4), PP. 290-306.
- Penman, H.L., 1948, **Natural Evaporation from Open Water, Bare Soil and Grass**, Proc. Soc. London Ser., A 193, PP. 120-145.
- Priestley, C.H.B. & Taylor, R.J., 1972, **on the Assessment of Surface Heat Flux and Evaporation Using Large-Scale Parameters**, Monthly Weather Review, 100, PP. 81-92.
- Rango, A., 1994, **Application of Remote Sensing Methods to Hydrology and Water Resources**, Hydrological Sciences Journal, 39(4), PP. 309-320.
- Sharifan, H., & Alizadeh, A. (2009). **Study Of Temperature And Radiation Based Methods Of Estimating Maximum Evapotranspiration With Different Probabilities (Case Study Of Gorgan)**. Journal Of Water And Soil (Agricultural Sciences And Technology), 23(3), 1-9. <https://www.sid.ir/en/journal/ViewPaper.aspx?id=186128>.
- Sharifan, H., & Dehghani, A., & Karimirad, I. (2012). **Correction Factor For Hargreaves-Samani Method To Estimate Et₀ (Case Study: Gorgan Synoptic Station)**. Journal Of Water And Soil Conservation (Journal Of Agricultural Sciences And Natural Resources), 19(3), 227-235. <https://www.sid.ir/en/journal/ViewPaper.aspx?id=287888>.
- Sharifan, H., & Ghahraman, B. (2007). **Evaluation And Comparison Of Estimated Reference Evapotranspiration From Evaporation Pan With Eto Standard Method In Gorgan**. Journal Of Agricultural Sciences And Natural Resources, 13(5), 18-28. <https://www.sid.ir/en/journal/ViewPaper.aspx?id=86280>.
- Snyder, R.L., Orang, M., Matyac, S. & Grismer, M.E., 2005, **Simplified Estimation of Reference Evapotranspiration from Pan Evaporation Data in California**, J Irrigation Drain Engineering, 131(3), PP. 249-253.
- Soltani, A., & Mirlatifi, S., & Dehghani Sanji, H. (2012). **Estimating Reference Evapotranspiration Using Limited Weather Data Under Different Climatic Conditions**. Journal Of Water And Soil (Agricultural Sciences And Technology), 26(1), 139-149. <https://www.sid.ir/en/journal/ViewPaper.aspx?id=271066>.
- Xu, C.-Y. & Singh, V., 2002, **Cross Comparison of Empirical Equations for Calculating Potential Evapotranspiration with Data from Switzerland**, Water Resources Management, 16(3), PP. 197-219.